

## СРАВНЕНИЕ ДВУХ СПОСОБОВ КОМПЕНСАЦИИ РЕАКТИВНОЙ ЭНЕРГИИ НАГРУЗКИ В ИНВЕРТОРАХ ФОРМИРОВАНИЯ ТОКА

В. И. ИВАНЧУРА, С. И. КОРОЛЁВ, Б. П. СОУСТИН

(Представлена научно-техническим семинаром кафедры электрооборудования)

В последнее время все большее применение находят инверторы с замкнутой системой формирования тока нагрузки [1, 2]. Ток в таком инверторе может иметь любую форму, в частном случае — синусоидальную. При синусоидальном токе на качественные характеристики инвертора в значительной мере оказывается способ компенсации реактивной энергии нагрузки; к характеристикам инвертора в первую очередь следует отнести частоту переключения силовых элементов  $f_k$  при заданной величине погрешности воспроизведения тока  $\Delta I$ .

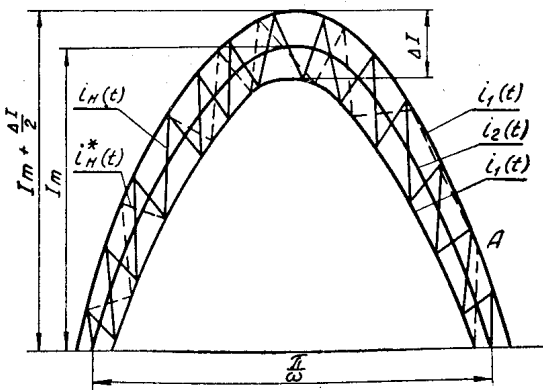


Рис. 1.

Ток нагрузки  $i_H(t)$  колеблется между двумя синусоидами (рис. 1) — верхней  $i_3(t) = I_m \sin \omega t + \frac{\Delta I}{2}$  и нижней  $i_1(t) = I_m \sin \omega t - \frac{\Delta I}{2}$ , , переходя через ноль в момент  $\omega t = 0$  и  $\omega t = \pi$ . В момент  $\omega t = 0$  включаются транзисторные или тиристорные ключи  $T_1$  и  $T_2$  (рис. 2) и ток в нагрузке возрастает до значения тока верхней синусоиды, после чего ключи размыкаются и нагрузка подключается диодами  $D_3$  и  $D_4$  к источнику в противоположном направлении. Ток начинает спадать, и при достижении значения тока нижней синусоиды вновь включаются ключи  $T_1$  и  $T_2$  и т. д. Как видно, в инверторе происходит возврат реактивной энергии нагрузки в источник постоянного тока.

Координаты точек пересечения тока нагрузки с верхней синусоидой определяются из уравнений

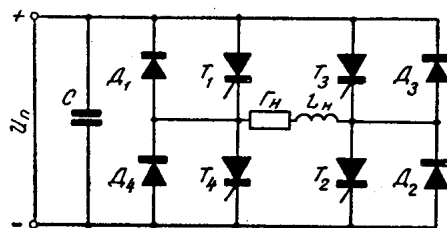


Рис. 2

Координаты точек встречи с нижней синусоидой определяются из уравнений

$$I_m \sin \omega t + \frac{\Delta I}{2} = i_3(t),$$

$$\frac{U}{R} + \left[ -\frac{U}{R} + I_o(t) \right] e^{-\frac{R}{L} t} = i_H(t). \quad (1)$$

$$I_m \sin \omega (t + t_2) - \frac{\Delta I}{2} = i_1(t),$$

$$-\frac{U}{R} + \left[ \frac{U}{R} + I_o(t) \right] e^{-\frac{R}{L} t} = i_H(t), \quad (2)$$

Для получения аналитической зависимости максимальной частоты, кроме общепринятых (сопротивление открытых вентилей равно нулю, закрытых — бесконечности, и внутреннее сопротивление источника питания в прямом и обратном направлении равно нулю) допущений, считается, что синусоида при малых углах, отсчитываемых от начала координат, заменяется касательной, а экспонента при малых аргументах определяется двумя первыми членами разложения ее в ряд Маклорена.

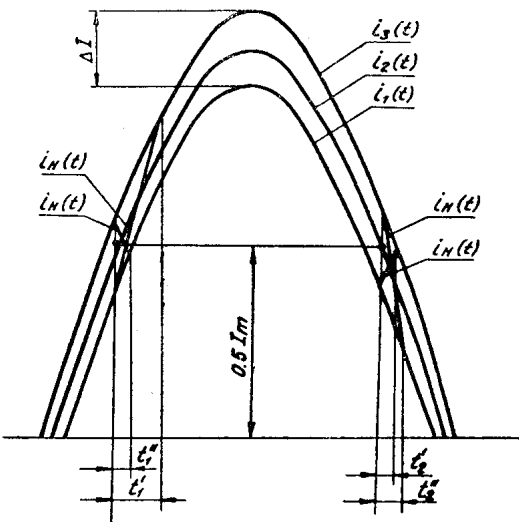


Рис. 3.

Кроме того, считается, что период частоты переключения остается постоянным в интервалах  $0 \div \frac{\pi}{2} \left( \pi \div \frac{3}{2} \pi \right)$  и  $\frac{\pi}{2} \div \pi \left( \frac{3}{2} \pi \div 2\pi \right)$

и равен соответственно  $T_{1cp}$  и  $T_{2cp}$ . Средний период частоты коммутации определяется в соответствующих интервалах на уровне  $0,5 I_m$ , так как наклоны всех аппроксимирующих прямых и, следовательно, период коммутации являются линейной функцией тока. Последнее допущение справедливо, когда  $f_{kcp} \gg f_{vых}$ . Частота коммутации определяется выражением

$$f_{kcp} = 2 \left( \frac{\pi}{2\omega T_{1cp}} + \frac{\pi}{2\omega T_{2cp}} \right) \frac{\omega}{2\pi} = \frac{T_{1cp} + T_{2cp}}{2T_{1cp} T_{2cp}} . \quad (3)$$

Период частоты коммутации как  $T_{1cp}$ , так и  $T_{2cp}$  состоит из времен нарастания и спада тока, которые могут быть определены следующим образом.

Для участка  $0 \div \frac{\pi}{2}$  уравнения (1) с учетом принятых допущений

$$i_3(t) = 0,5I_m + \frac{\Delta I}{2} + 0,866I_m\omega t ,$$

$$i_n(t) = \left( 0,5I_m - \frac{\Delta I}{2} \right) + \left( \frac{U}{L} - 0,5I_m \frac{R}{L} + \frac{\Delta I}{2} \frac{R}{L} \right) t .$$

Из условия равенства  $i_3(t) = i_n(t)$  время нарастания тока на участке  $\left( 0 \div \frac{\pi}{2} \right)$  (рис. 3).

$$t'_2 = \frac{\Delta I}{\frac{U}{L} - \frac{R}{2L} (I_m - \Delta I) - 0,866 I_m \omega} . \quad (4)$$

Аналогичным образом определяется время нарастания тока на участке  $\left( \frac{\pi}{2} \div \pi \right)$ :

$$t'_2 = \frac{\Delta I}{\frac{U}{L} - \frac{R}{2L} (I_m - \Delta I) + 0,866 I_m \omega} . \quad (5)$$

Время спадания тока определяется из уравнения (2) с учетом принятых допущений.

На участке  $0 \div \frac{\pi}{2}$ ;

$$i_1(t) = 0,5I_m - \frac{\Delta I}{2} + 0,866I_m\omega t ,$$

$$i_n(t) = \left( 0,5I_m + \frac{\Delta I}{2} \right) - \left( \frac{U}{L} + 0,5I_m \frac{R}{L} + \frac{\Delta I}{2} \frac{R}{L} \right) t ,$$

из условия равенства  $i_1(t) = i_n(t)$

$$t''_1 = \frac{\Delta I}{\frac{U}{L} + (I_m + \Delta I) \frac{R}{2L} + 0,866 I_m \omega} . \quad (6)$$

Соответственно для участка  $\left( \frac{\pi}{2} \div \pi \right)$

$$t''_2 = \frac{\Delta I}{\frac{U}{L} + \frac{R}{2L} (I_m + \Delta I) - 0,866 I_m \omega} . \quad (7)$$

Из выражений (3)÷(6), пренебрегая величинами второго порядка, определяется приближенное значение частоты коммутации

$$f_{\text{кср}} = \frac{R}{2L} \cdot \frac{4k_u^2 - 3\tg^2\varphi - 1}{4k_i k_u}, \quad (8)$$

где

$k_u = \frac{U_n}{I_m R}$  — коэффициент использования напряжения источника питания;

$k_i = \frac{\Delta I}{I_m}$  — коэффициент погрешности воспроизведения формы тока;

$$\tg\varphi = -\frac{\omega L}{R}$$

Приближенное значение максимально возможной воспроизводимой частоты  $f_{\max \text{пр}}$  при заданной погрешности воспроизведения формы тока определяется из условия равенства периода коммутации бесконечности на уровне  $0,5 I_m$ :

$$f_{\max \text{пр}} = \frac{R}{2L\pi} \sqrt{\frac{4k_u^2 - 1}{3}}. \quad (9)$$

Так как выражение справедливо для случая  $f_k \gg f_{\text{вых}}$ , то для получения выражения, справедливого во всем диапазоне изменения выходной частоты, используется способ аппроксимации (8) путем подбора простейших функций [3], в результате чего уточненное значение частоты коммутации имеет вид:

$$f_{\text{кср}} = \frac{R}{L} \frac{1,43 \tg^2\varphi}{\sqrt{k_i k_u^2} 2\pi} \sqrt{\frac{4k_u^2 - 1}{3}} + \frac{R}{L} \frac{4k_u^2 - 3\tg^2\varphi - 1}{8k_i k_u}. \quad (10)$$

Уточненное значение максимально воспроизводимой частоты получается (10) при условии равенства частоты коммутации

$$t_{\max} = \frac{-1 \pm \sqrt{1 + 4ab}}{2a}. \quad (11)$$

где

$$a = \frac{2\pi L}{R} \left( \frac{1,43}{k_u^2 \sqrt{k_i}} \sqrt{\frac{4k_u^2 - 1}{3}} - \frac{3\pi}{4k_i k_u} \right).$$

$$b = \frac{R}{2L} \frac{4k_u^2 - 1}{4k_u k_i}.$$

Максимальная частота коммутации на низких выходных частотах определяется из (10) при условии  $\omega_{\text{вых}} = 0$ .

$$f_{\text{к max}} = \frac{R}{2L} \frac{4k_u^2 - 1}{4k_u k_i}. \quad (12)$$

Реактивная мощность может компенсироваться также и закорачиванием нагрузки в определенные моменты времени.

На рис. 1 приведена зависимость изменения тока при данном способе компенсации с учетом того, что нарастание и спад тока происходит по закону

$$i_{\text{H}}^*(t) = \frac{U}{R} + \left( -\frac{U}{R} + I_0 \right) e^{-\frac{R}{L} t}, \quad (13)$$

$$i_{\text{H}}^*(t) = I_0 e^{-\frac{R}{L} t}.$$

Характерной особенностью такого режима является наличие точки  $\Theta_{\text{гр}}$ , с которой ток, изменяясь от своего начального значения до нуля, не пересекается с нижней синусоидой  $i_1(t)$ . В этом случае при достижении током величины  $I = I_m \cos \omega t + \frac{\Delta I}{2} k + \frac{\Delta I}{2}$  (точка А) необходимо перевести инвертор в режим компенсации источником постоянного тока. Здесь  $k=0,1+0,2$  — характеризует величину превышения тока нагрузки по сравнению с током верхней синусоиды (рис. 1).

Допущения, принятые ранее, справедливы в этом случае до  $\Theta_{\text{гр}}$ , и частота коммутации может быть определена, если найти среднее значение периода коммутации в интервале  $0 \div \Theta_{\text{гр}}$

$$t_k = 2 \left( \frac{\Theta_{\text{гр}}}{\omega T_{\text{кр}}^*} \right) \frac{\omega}{2\pi} = \frac{\Theta_{\text{гр}}}{\pi T_{\text{кр}}^*}. \quad (14)$$

где

$T_{\text{кр}}^* = t'_1 + t''_1$  — среднее значение периода коммутации в интервале  $0 \div \Theta_{\text{гр}}$ ;

$t'_1, t''_1$  — соответственно времена нарастания и спада тока в интервале  $(2 \div \Theta_{\text{гр}})$ .

В интервале от  $\Theta_{\text{гр}}$  до  $\pi$  частота коммутации считается равной нулю. Из равенства  $i_{\text{H}}^*(t) = i_1(t)$  и (13) и учетом допущений определяется:

$$t''_1 = \frac{\Delta I}{0,866I_m \omega + 0,5I_m \frac{R}{L} + \frac{\Delta I}{2} \frac{R}{L}}.$$

С учетом (4), (13), (14)  $t_1^{*1} = t'_1$  определяется приближенное значение частоты коммутации:

$$f_{\text{кр}}^* = \frac{R}{L} \frac{\Theta_{\text{гр}}}{\pi} \frac{2k_u(1,73 \operatorname{tg} \varphi + 1) - (1,73 \operatorname{tg} \varphi + 1)^2}{4k_i k_u}. \quad (15)$$

Приближенное значение максимально возможной воспроизводимой частоты определяется, как и в предыдущем случае,

$$f_{\text{макс пр}}^* = \frac{R}{L} \frac{2k_u - 1}{1,73 \cdot 2 \cdot \pi}. \quad (16)$$

В силу принятых допущений выражение (15) справедливо для частот  $f_k \gg f_{\text{вых}}$ . На основании графических построений и анализа (15) зависимость  $f_{\text{кр}}^*$  может быть аппроксимирована выражением  $f_{\text{кр}}^* = f_h + f_v$ , где  $f_h$  и  $f_v$  характеризует поведение  $f_k$  на низких и верхних частотах. Частота  $f_h$  получена аналитически и совпадает с (15), а частота

$$f_v = \frac{R}{L} \frac{2k_u - 1}{1,73 \cdot 2} \frac{\pi}{\Theta_{\text{гр}}} \operatorname{tg} \varphi \frac{1}{k_u \sqrt{k_i}} \quad \text{получается с использованием метода}$$

подбора простейших функций [—3]. Окончательное выражение для частоты коммутации имеет вид

$$f_k^* = \frac{R}{L} \frac{\Theta_{\text{гр}}}{\pi} \frac{2k_u(1,73 \operatorname{tg} \varphi + 1) - (1,73 \operatorname{tg} \varphi + 1)^2}{4k_i k_u} + \frac{R}{L} \frac{2k_u - 1}{1,73 \cdot 2 \pi} \times \\ \times \frac{1}{k_u \sqrt{k_i}} \frac{\pi}{\Theta_{\text{гр}}} \operatorname{tg} \varphi, \quad (17)$$

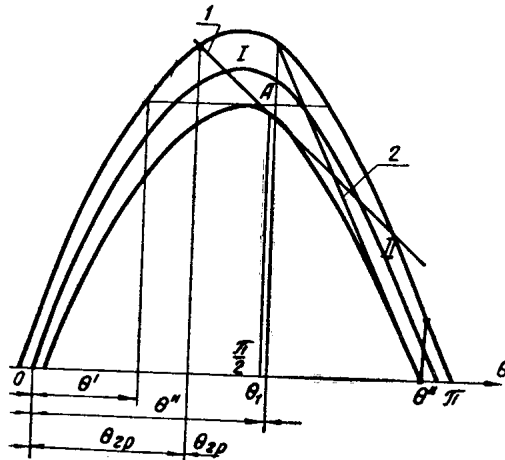


Рис. 4.

Значение  $\Theta_{\text{гр}}$  может находиться в двух зонах (рис. 4):

I зона  $\Theta' < \Theta_{\text{гр}} < \Theta''$ ,

II зона  $\Theta'' < \Theta_{\text{гр}} < \Theta'''$ .

Первая зона характеризуется тем, что прямая 1 (рис. 4), аппроксимирующая спадающий ток, является касательной к нижней синусоиде

$$i_1(t) = I_m \sin \Theta - \frac{\Delta I}{2}.$$

Как видно из рис. 4,  $\Theta' = \arcsin(1 - k_i)$ , а  $\Theta''$  находится из совместного решения уравнения касательной в точке  $\pi - \frac{k_i}{2}$  к нижней синусоиде и уравнения верхней синусоиды при допущении, что

$$\begin{aligned} \sin\left(\pi - \frac{k_i}{2}\right) &\approx \frac{k_i}{2} \text{ и } \cos\left(\pi - \frac{k_i}{2}\right) \approx -1. \\ \sin\Theta'' &= -\Theta'' + \pi - \frac{k_i}{2}. \end{aligned} \quad (18)$$

Графическое решение этого уравнения приведено на рис. 5. Величина  $\Theta'_{\text{гр}}$  в первой зоне находится из решения двух уравнений. Первое уравнение получается из условия равенства наклонов аппроксимирующей прямой и касательной в точке  $\Theta_1$ , второе уравнение характеризует пересечение касательной и верхней синусоиды. Решение этих уравнений дает неявное выражение и его приближенное значение имеет вид:

$$\Theta'_{\text{гр}} = \Theta' + \operatorname{ctg}\varphi. \quad )$$

Аналогично определяется  $\Theta''_{\text{гр}}$  во второй зоне, что дает

$$\Theta'_{\text{гр}} = \pi - \frac{k_i}{2} - \operatorname{tg}\varphi.$$

Из сравнения (16) и (19) видно, что при первом способе компенсации величина воспроизведенной частоты немного выше, чем при втором способе. Однако необходимо отметить, что на высоких выходных частотах необходимо переводить работу инвертора из второго режима в первый, т. е. по частотному диапазону инвертор одинаков как при компенсации источником постоянного тока, так и при комбинированной компенсации.

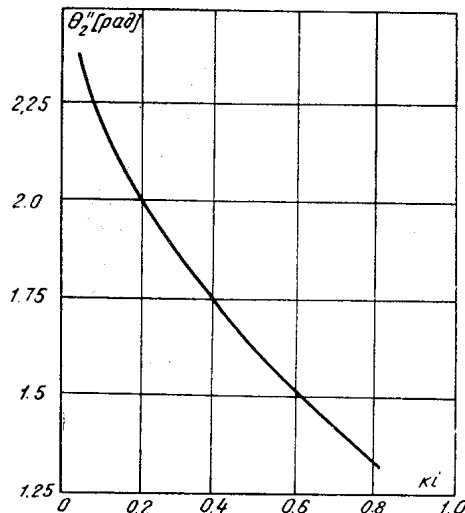


Рис. 5.

Максимальная частота коммутации на низких частотах

$$f_{k \max}^* \cong \frac{R \Theta_{\text{гр}}}{L \pi} \frac{2k_u - 1}{4k_i k_u} \cong \frac{R}{L} \frac{2k_u - 1}{4k_i k_u}.$$

Сравнение этих частот

$$\frac{f_{k \max}}{f_{k \max}^*} = \frac{\frac{R}{2L} \frac{4k_u^2 - 1}{4k_i k_u}}{\frac{R}{L} \frac{2k_u - 1}{4k_i k_u}} = K_u = 0,5$$

показывает увеличение частоты коммутации на низких выходных частотах при первом способе компенсации.

Сравнение результатов, полученных из приведенных формул, с результатами точных графических построений и экспериментальными данными дает погрешность в определении частоты коммутации в пределах 3+10%.

#### Выводы

При формировании синусоидального тока частота переключения силовых вентилей при компенсации реактивной мощности нагрузки источником постоянного тока выше, чем при комбинированной компенсации. Первый способ рекомендуется при высоких выходных частотах, а второй при низких. При необходимости изменения частоты коммутации необходимо введение в цепь нагрузки дополнительных регулируемых дросселей, либо изменение напряжения источника питания.

#### ЛИТЕРАТУРА

1. В. Н. Бродовский, Е. С. Иванов, Ю. П. Кузнецов. Статические преобразователи для частотно-токового управления машинами переменного тока. Изв. АН СССР, Энергетика и транспорт, № 2, 1969.
2. И. Ф. Калинин, Б. П. Соустин. Инвертор с замкнутой системой формирования кривой тока. В сб.: «Устройства преобразовательной техники», вып. 2, «Наукова думка», Киев, 1969.
3. В. М. Ордынцев. Математическое описание объектов автоматизации. «Машиностроение», М., 1965.